

離岸流の理論(3)

土屋義人*・安田孝志**

1. 緒言

Bowen¹⁾以来、海浜循環流の発生機構に関する理論的研究が種々の観点からなされてきたが、碎波帯内のradiation応力場の何らかの変動に原因を求めるという点では一貫している。汀線方向に何らかの変動を持つradiation応力を海浜循環流の強制外力項とする扱いにおいて、外因説(強制型)および内因説(自由型)の間に何ら相違はなく、一様な外力の作用下で生じる分岐現象としての海浜循環流の可能性については検討されて来なかつたように思われる。著者ら^{2),3)}は、任意条件下での海浜流解も一様条件下での基本解によって構成されるという観点から、一様条件下での基本解の誘導を試み、近似的扱いながら、底面摩擦項に代わって入射波の質量輸送による慣性項を評価することによっても離岸流解が導かれるることを示し、海浜流系を構成する因子に対する再検討の必要性を示唆した。

ここでは、海浜流を支配する因子間の大小関係を微小パラメーターによって定式化し、汀線方向に一様なradiation応力によるset-upの‘座屈’に離岸流の発生原因を求める立場から、分岐現象としての海浜循環流の理論展開を最低次のオーダーで試み、直接的にはradiation応力分布によらない海浜循環流の存在の可能性を明らかにしたい。

2. 基礎方程式

本論文では、汀線方向に一様な条件下にある海浜流系の分岐解を導き、分岐現象としての海浜循環流の発生機構を明らかにするため、その力学的構造を歪めない範囲で極力簡略化を行う。この場合、その展開における定式化の妥当性が必須となるため、まず、ここで用いる定式化のための仮定を以下に列記する。

- i) 図-1に示す一様傾斜海浜における海浜流を取り扱う。このときの海浜流は鉛直方向に一様であり、入射波と定常状態で共存し、鉛直方向に積分した質量および運動量方程式に支配される。

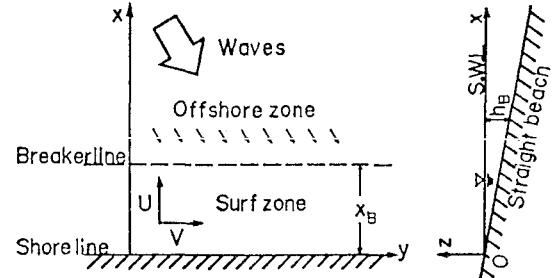


図-1 座標系および記号

- ii) 入射波は汀線方向に一様であり、その波高変化は、碎波帯外ではGreenの法則に従い、碎波帯内では波高・水深比一定則に従う。
- iii) 入射角 θ は小さく、 $\theta = \theta_B d^{*1/2}$ で表示され、 θ_B^2 以下の項は無視できる。
ここに、 d : 静水位 h に平均水位の昇降(set-up & set-down) η を加えた平均水深、 B : 碎波点での諸量であることを示す添字、および*: h_B を基準量とした無次元量であることを示す。
- iv) 入射波の質量流束 M およびradiation応力 S_{ij} は、クノイド波理論によって、前報²⁾同様、次のように表示される。

碎波帯内($x \leq x_B$):

$$\left. \begin{aligned} M &= \frac{1}{2} \rho g^{1/2} \gamma^2 G_B d^{1/2}, & S_{22} &= \frac{1}{2} \rho g \gamma^2 G_B d^2, \\ S_{22} &= \frac{1}{3} S_{11}, \\ G_B &= \frac{1}{k^4} \left[-\left(\frac{E}{K}\right) \left\{ 3\left(\frac{E}{K}\right) + 2k^2 - 4 \right\} + k^2 - 1 \right] \Big|_B \end{aligned} \right\} \quad (1)$$

碎波帯外($x \geq x_B$):

$$\left. \begin{aligned} M &= \frac{1}{2} \rho g^{1/2} \gamma^2 G_B d_B^{5/2} d^{-1}, \\ S_{11} &= \frac{1}{2} \rho g \gamma^2 G_B d_B^{5/2} d^{-1/2}, & S_{22} &= \frac{1}{3} S_{11} \end{aligned} \right\} \quad (2)$$

ここに、 γ : 碎波波高・水深比($= (H/d)_B$)、 g : 重力の加速度、 K および E : 第1種および第2種完全積円積分、および k : 楕円積分の母数である。

- v) 底面摩擦力 R_x および R_y を考慮することとし、

* 正会員 工博 京都大学教授 防災研究所

** 正会員 工博 岐阜大学助教授 工学部土木工学科

まず、 d (または x)=0において $\phi_s=0$ の境界条件を満足する循環流解 ϕ_s は、次のように表される。

$$\phi_s = A_s \xi^{5/4} I_{5/4}(\xi) \sin \lambda y + \theta_B \left(\sum_{n=0}^{\infty} C_{2n} x^{2n+4} \cos \lambda y - \frac{5}{18} \frac{\sigma}{q_B} d_x^3 d^3 \right) \quad \dots \dots \dots (17)$$

ここに、 $I_{5/4}$; 5/4 階の第 1 種変形 Bessel 関数、 $\xi = \sqrt{2} \lambda x$, λ ; 循環流間隔を与える固有値、 A_s ; 循環流の強さを規定する未知定数、および C_n は次式で与えられる。

$$C_{2n} = \frac{2\lambda^2}{(n+2)(4n+3)} C_{2n-2} - \frac{d_x^{1/2} \lambda^{2n+5/2} A_s}{(n+2)2^{n+1} n! \Gamma(n+9/4)} \quad \dots \dots \dots (18)$$

ここに、 Γ ; ガンマ関数である。

ついで、 d (または x)→0において $\phi_0 \rightarrow \text{const}$ の境界条件を満足する循環流解 ϕ_0 は次式のように表される。

$$\phi_0 = A_0 \xi^{5/4} K_{15/8}(\xi) \sin \lambda y + \theta_B \left\{ \sum_{n=0}^{\infty} (F_n x^{n+3/2} + G_n x^{n+21/4}) \cos \lambda y + P_0 \right\} \quad \dots \dots \dots (19)$$

ここに、 $K_{15/8}$; 15/8 階の第 2 種変形 Bessel 関数、 A_0 ; A_s と同様に循環流の強さを規定する未知定数、 P_0 ; 砕波線上での接続条件を満足するための定数、 F_n および G_n はそれぞれ次式で与えられる。

$$(4n+5)(8n-5)F_{2n+1} + (4n+3)(8n-9)F_{2n} - 16\lambda^2(F_{2n-1} + F_{2n+2}) = \frac{A_0 \pi d_x^{-1/2} \lambda^{2n+1}}{\sin(15\pi/8) 2^n n! \Gamma(n-7/8)} \quad \dots \dots \dots (20)$$

$$(4n+5)(8n-5)G_{2n+1} + (4n+3)(8n-9)G_{2n} - 16\lambda^2(G_{2n-1} + G_{2n-2}) = \frac{A_0 \pi d_x^{-1/2} \lambda^{2n+10/4}}{\sin(15\pi/8) 2^{n+15/8} n! \Gamma(n+23/8)} \quad \dots \dots \dots (21)$$

4. 汀線方向に一様な radiation 応力下の離岸流の特性

(1) 離岸流の解

前述の海浜循環流解において $\theta_B=0$ とすれば、直角入射波による循環流、すなわち離岸流の解が得られるので、これらを前述の基礎方程式に適用することにより、直ちにこのときの海浜流流速および set-up & down の表示を導くことができ、汀線方向に一様な radiation 応力の作用下で生じる離岸流の特性が明らかとなる。

まず、砕波帶内の場合について示せば、次式のようになる。

$$U = \sigma \lambda A_s d^{-1} \xi^{5/4} I_{5/4}(\xi) \cos \lambda y + \frac{\sigma}{2} d^{1/2} \quad \dots \dots \dots (22)$$

$$V = -\sqrt{2} \sigma \lambda A_s d^{-1} \xi^{5/4} I_{1/4}(\xi) \sin \lambda y \quad \dots \dots \dots (23)$$

$$\eta = -2\sqrt{2} \sigma A_s q_B d^{-3/2} \xi^{5/4} I_{1/4}(\xi) \cos \lambda y + \sigma(d_B - d) \quad \dots \dots \dots (24)$$

ここに、 $I_{1/4}$; 1/4 階の第 1 種変形 Bessel 関数である。

式(24)の右辺第 2 項は汀線方向に一様な radiation 応力を直接依存する set-up を示し、第 1 項はこれに誘因される‘座屈’成分を示す。そのオーダーは未知定数 A_s によって規定されており、その決定には何らかの付加条件が必要となる。この‘座屈’に伴って生じる離岸流成分は式(22)および(23)の右辺第 1 項によって表され、一様な set-up に対応したもどり流れは式(22)の右辺第 2 項によって表される。式(22)および(24)から明らかなように、 U と V とは位相が π だけずれているため、汀線に沿って set-up が最大となる η_{\max} の点において岸向きの流れが生じ、逆に最小となる η_{\min} の点において冲向きの流れ、すなわち離岸流が生じる。また、set-up の‘座屈’によって生じた汀線方向の水面勾配に伴って、 η_{\max} の点から離岸流発生点である η_{\min} の点に向かう海浜流が形成される。このように、ここで示した計算では、set-up の変動に直接支配される循環流が形成され、水口⁴⁾の計算におけるような矛盾は生じていない。これは、離岸流を set-up と直接結び付けて展開したことによる当然の結果であるが、radiation 応力に汀線方向の変動を与えないでも離岸流解が導かれるという事実は、田中ら⁵⁾による実験事実と併せて、海浜循環流の発生機構に関するこれまでの理解に対する再検討の必要性を示すものと言えよう。特に、基本解を基にして任意条件下での海浜流解を構成する場合、相互干渉項を含まない最低次で導かれる海浜循環流解の存在は基本解として極めて重要であろう。

ついで、砕波帶外についても同様に示せば、次式のようになる。

$$U = \sigma \lambda A_0 d^{-1} \xi^{15/8} K_{15/8}(\xi) \cos \lambda y + \frac{\sigma}{2} d^{-2} \quad \dots \dots \dots (25)$$

$$V = \sqrt{2} \sigma \lambda A_0 d^{-1} \xi^{15/8} K_{7/8}(\xi) \sin \lambda y \quad \dots \dots \dots (26)$$

$$\eta = 2\sqrt{2} \sigma A_0 q_B d^{-11/4} \xi^{15/8} K_{7/8}(\xi) \cos \lambda y$$

$$-\frac{\sigma}{6} d^{-3/2} \quad \dots \dots \dots (27)$$

ここに、 $K_{7/8}$; 7/8 階の第 2 種変形 Bessel 関数であり、砕波帶外での set-down の‘座屈’およびこれに起因する循環流の絶対値は未知数 A_0 によって規定されている。これから、岸沖方成分 U に関しては砕波帶内のものと位相が一致しているが、汀線方向成分 V および set-down η に関してはともに π だけずれていることがわかる。この結果、砕波帶外では汀線方向に砕波帶内と逆の水面勾配が形成され、これに従って V の方向も砕波帶内と逆向きになり、離岸流の終端から岸向き流れの開始点に向かい、砕波帶内の海浜流と一体となって閉じた循環流が形成されることになる。

(2) 離岸流の間隔とその平面形状

離岸流間隔 S_R を与える固有値は、砕波線上での海

浜流解の接続条件によって決定されるが、碎波帯内外の radiation 応力が碎波線上で滑らかに接続せず、しかも、前述の仮定 v) に従って水平拡散項を評価していないため、汀線方向の速度成分に関しては接続条件を原理的に満足させることができない。このため、輸送流れ関数 ψ に関してのみ次式の接続条件を満足させる。

上式に前述の $\theta_B=0$ とした式(17)および(18)を代入すれば、固有値入が満足すべき方程式は次式となる。

$$A_8 I_{5/4}(\sqrt{2}\lambda/d_x) - A_0(\sqrt{2}\lambda/d_x)^{5/8} K_{15/8}(\sqrt{2}\lambda/d_x) = 0 \quad \dots \quad (29)$$

これから明らかなように、 λ は未知定数 A_s/A_0 に依存するため、 λ を A_s/A_0 の関数として評価する。図-2 は S_R/x_B と A_s/A_0 の関係を示し、 $A_s/A_0=1$ の場合 $S_R/x_B \approx 6.2$ となり、離岸流間隔は碎波帯の幅のみに依存する。

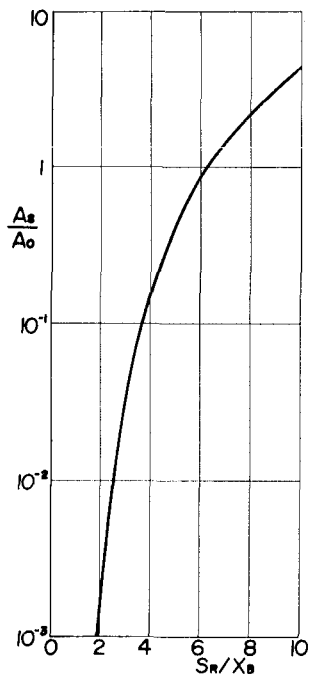


図-2 A_s/A_0 と離岸流間隔との関係

ことがわかる。この値は、佐々木⁶⁾によって観測結果を基に導かれた値の約2倍であり、また、日野⁷⁾の理論値の約1.5倍となっている。もちろん、 A_s/A_0 の値に任意性が残るため、この値をそのまま受け容れることはできないが、妥当な結果を与えているものと思われる。

図-3は、 $A_s = A_0 = 1$ としたときの離岸流の平面形状を示す。なお、 $\phi = 0$ の流線が示されていないが、汀線が $\phi = 0$ に一致していることは言うまでもない。これから、流線の方向から離岸流が $y = 3\pi/2$ の点に発生していることがわかる。また、 $|\phi| \approx 0.1$ 程度では碎波線で ϕ の値は滑らかに接続していると判断されるが、 $|\phi|$ の値

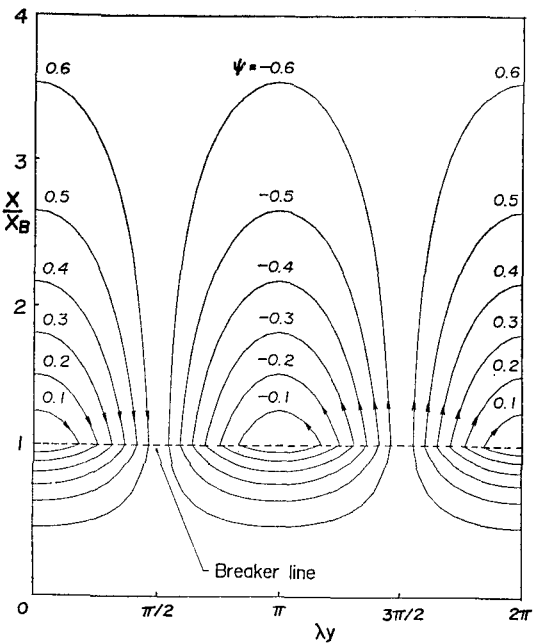


図-3 循環流の平面形状

の増大に伴って折れ曲がりが顕著となり、水平拡散項の評価が解の平滑化のために必須となることがわかる。

5. 結論

Radiation 応力の汀線方向の変動を前提とする従来の海浜循環流理論の展開に疑義を抱き、汀線方向に一様な radiation 応力の作用下で生じる分岐解こそ任意条件下での海浜流系の解を構成する海浜循環流の基本解であるとの観点から、微小パラメーターによって海浜流系の支配因子間の大小関係を定式化し、入射波と海浜流が相互に独立として取扱われる最低次の海浜流解において set-up の「座屈」に起因する分岐が生じることを明らかにした。そして、汀線方向に一様な radiation 応力の下で生じる海浜循環流の特性を直角入射波の場合について検討し、碎波帯内では汀線上の set-up の最大点から最小点に向かう流れが生じ、この流れが set-up の最小点から沖へ向かうことによって離岸流を発生させ、碎波帯外における set-down の変動に伴う流れとともに水面勾配に一義的に支配される閉じた循環流を形成していることを示した。さらに、このときの離岸流間隔は、未知定数比 A_s/A_0 に依存するという任意性を残してはいるものの、碎波帯の幅のみによって一義的に定まり、その約 6 倍程度になることを示した。

最後に、本研究に際し熱心に協力して頂いた学部4年生浜中実君（現在、セントラルコンサルタンツ（株）勤務）に深謝するとともに、本研究は文部省科学研究費による成果であることを付記する。

参 考 文 献

- 1) Bowen, A. J.: Rip currents, 1, Theoretical investigations, Jour. Geophys. Res., Vol. 74, pp. 5467~5478, 1969.
- 2) 土屋義人・安田孝志・徳田邦博: 離岸流の理論(1)——直角入射の場合——, 第 26 回海岸工学講演会論文集, pp. 495~499, 1979.
- 3) 土屋義人・安田孝志・片山章仁: 離岸流の理論(2)——斜め入射の場合——, 第 27 回海岸工学講演会論文集, pp. 158~162, 1980.
- 4) 水口 優: 固有値問題としての離岸流の間隔について, 土木学会論文報告集, 第 248 号, pp. 83~88, 1976.
- 5) 田中寛好・和田 明: 海浜流の発生機構に関する実験的研究, 第 27 回海岸工学講演会論文集, pp. 153~157, 1980.
- 6) 佐々木民雄: 海浜流系の構造に関する野外的研究, 東京大学学位論文, p. 240, 1974.
- 7) 日野裕雄: 海浜流系の発生理論(3)——単純化された理論——, 第 21 回海岸工学講演会論文集, pp. 339~344, 1973.